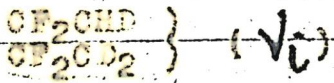


CF₂D₂

4542 - IV

1954



Diamond P.P., Ultee G.J.

J. Chem. Phys., 1954, 22, N 12,
1983-1992

Vibrational spectra...

C₂H₂D₂

BQF-1064-IV

1956

CD₂F₂:

A. G. Meister, J. M. Dowling.

A. J. Bielecki, J. Cheu.

Phys. 25, N5, 941

Замененное кремнико. ХХVII
Температурные постоянные
и межсоединительные
свойства CH₂F₂, CHDF₂ и
CD₂F₂.

или CH₂F₂.

4467-11

1957

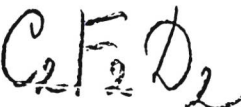
$\text{CF}_2=\text{CH}_2$, $\text{CF}_2=\text{CHD}$, $\text{CF}_2=\text{CD}_2$ (J_i, 2_{xy}, 6_{xz})

Edgell W.F., Kinsey Ph.A.,
Amy J.W.

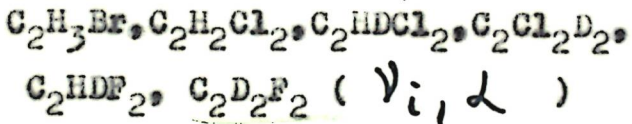
J. Amer. Chem. Soc., 1957, 79, N 11,
2691-2693

The microwave spectra ...

J



1958



Свердлов Л.М., Клочковский Ю.В.,
Кукина В.С.

Инж-Физ.Ж., 1958, I, № 12, 43-53

Колебательные спектры и постоянные ...

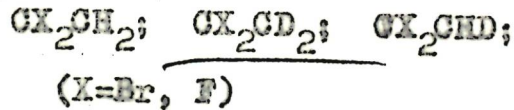
J



$\text{C}_2\text{F}_2\text{D}_2$

4912 - IV

1960



Scherer J.R., Overend J.
J. Chem. Phys., 1960, 32, N 6,
1720-1733

Применимость силовых...

J

C₂F₂D₂

4465 - IV

1962

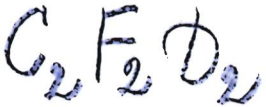
ν_i (HFC=CFH, HFC=CFD, DFC=CFD.)

Craig N.C., Entemann E.A.

J.Chem.Phys., 1962, 36, N 1, 243-
248

Infrared spectra and ...

J



8199-IV

1963

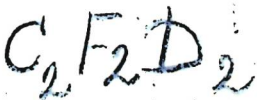
$C_2^{H_2}J_2$, $C_2^{D_2}J_2$, $C_2^{H_2}F_2$, $C_2^{H_2}Cl_2$,
 $C_2^{H_2}Br_2$, $\underline{C_2^{D_2}F_2}$, $C_2^{D_2}Cl_2$, $C_2^{D_2}Br_2$ (

Krupp R.H., Piotrowski E.A., Cleveland F.
Miller S.I.

Developm. Appl. Spectrosc. vol. 2, Chicago
Ill, "Appl. Spectrosc. Soc.", 1963, 52-57,

The vibrational spectra of ...

J



НТССНТ; 8239 С₂Н₂F₂; С₂D₂F₂ (Н Т 1963)

Vi, излек, пост. 11) (HFC = C¹³DF, HFC¹³ = C¹²D₂F,
спирокетри, } HFC¹² - C¹³DF, DFC¹² - C¹²DF,
2x-4, LX42 } DFC¹³ - C¹²DF, HFC¹² = C¹³DF,
HFC¹³ = C¹²DF, H₂C¹³ - C¹²F₂, H₂C¹² = C¹³F₂,

Laurie V. W., Pence D. T.

J. chem. Phys., 1963, 38, VII, 2694-2692
рецензия

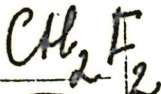
Microwave spectra and structures of
difluoroethyl ethers. (O) F₂O₂. Н проф

Рн хим, 1964, 65108

10

Есть оригинал

1970



М. в. спектр

12 Д390. Микроволновый спектр, центробежное искажение и молекулярная структура метиленфторида. Nitogata Eizi, Tanaka Takehiko, Sakakibara Akira, Ohashi Yukako, Morino Yonezo. Microwave spectrum of methylene fluoride centrifugal distortion and molecular structure. «J. Mol. Spectrosc.», 1970, 34, № 2, 222—230 (англ.)

С целью определения постоянных центробежного искажения в дополнение к данным Лайда («J. Amer. Chem. Soc.», 1952, 74, 3548) измерены 3 перехода Q-ветви и 29 переходов P- и R-ветвей в микроволн. спектре молекул CH₂F₂ и CD₂F₂. Определены постоянные центробежного искажения: τ_{aaaa} , τ_{yyyy} , τ_{cccc} , T_1 и T_2 для каждой молекулы. Найдены параметры молекулярной структуры: $r(C-H) = 1,093 \pm 0,003 \text{ \AA}$; $r(C-F) = 1,3574 \pm 0,001 \text{ \AA}$; $\angle HCH = 113^\circ 40' \pm 10'$ и $\angle FCF = 108^\circ 19' \pm 3'$. Г. П.

(+)

См. также

90. 1970. 120

CH₂F₂ (II)

X

30816.4509

TE Ch, SIS, Ph

CH_2F_2

(c, n)

41125

1973

Б-1471

≡

CH_2F_2

CH_2F_2

Suzuki Isao, Shimanouchi Takehiko.

Vibration-rotation spectra and molecular force field of methylene fluoride and methylene fluoride-d₂. "J. Mol. Spectrosc.", 1973, 46, N 1, 130-145 (англ.)

921 924

035094-ник. винити

CD₂ F₂

summer 2918 1974.

Kukolich E. G.

e2g, k,

Mol. Phys., 1976,

29, v1, 249-55.

e2g/k.

Deuterium quad-
rapole coupling in
the gas phase.

1974

оптимеси 2192

CD₂F₂

21 Б280. Измерение мазерным спектрометром молекулярных пучков квадрупольной связи дейтерия в CD₂F₂.

Nelson A. C., Kukolich S. G., Rubin D. J. Beam maser measurement of deuterium quadrupole coupling in CD₂F₂. «J. Mol. Spectrosc.», 1974, 51, № 1, 107—110 (англ.)

Измерена СТС вращательных переходов 2₂₀—3₁₃ в CD₂F₂. Определена константа квадрупольной связи дейтерия $e^2 q_{zz} Q = 186 \pm 10$ кгц и параметр асимметрии градиента электрич. поля $\eta = -0,15$. Сравнение квадрупольных данных дейтерия в родственных дейтеропроизводных метана указывает на слабую зависимость $e^2 q_{zz} Q$ дейтерия от заместителей. Значительная величина η в CD₂F₂ вызвана электростатич. влиянием атомов фтора.

В. П. Казаков

х. 1974. N21

CD₂F₂

10 Д.610. Измерение постоянных квадрупольной связи дейтерия с использованием пучкового мазера. Nelson A. C., Kukolich S. G., Rubin D. J. Beam maser measurement of deuterium quadrupole coupling in CD₂F₂. «J. Mol. Spectrosc.», 1974, 51, № 1, 107—110 (англ.)

М.И.

С использованием мазерного спектрометра с молекулярным пучком при разрешении ≈ 6 КГц измерена квадрупольная сверхтонкая структура вращательного перехода 2₂₀—3₁₃ молекулы CD₂F₂ в основном колебательном состоянии. Определены значения компонентов тензора квадрупольной связи дейтерия вдоль связи C—D ($cqQ_{zz} = 186 \pm 10$ КГц), параметра асимметрии тензора

квадрупольной связи ($\eta = -0,15 \pm 0,05$) и компонентов тензора спин-вращательного взаимодействия ядра F с вращением молекулы в целом ($M_{aa} = -14,4$, $M_{bb} = -4,7$, $M_{cc} = -12,5$ КГц). Полученные значения M такие же, как и для CH₃F₂.

М. Р. Алиев

Ф. 1974 № 10

отиск 2192

1974

*45-9513

1975

CD₂F₂

(u.n.)

B9-XIV-6390

C.A. 1975.83

{ 18302y Microwave spectrum of methylene fluoride-u₂ in
the excited vibrational states. Hirota, Eizi; Sahara, Miyoko
(Fac. Sci., Kyushu Univ., Fukuoka, Japan). *J. Mol. Spectrosc.*
1975, 56(1), 21-38 (Eng). The rotational spectra of ¹²CD₂F₂ in
the ν₂, ν₃, ν₄, 2ν₄, ν₅, ν₇, ν₈, and ν₉ states were obsd. and assigned.
Weak Coriolis interactions between ν₃ and ν₇, ν₃ and ν₉, and ν₅
and ν₇ were analyzed by using approx. expressions for the
rotational energy levels. The resonance between the ν₂ and the
ν₅ state was much stronger, and an effective 2 dimensional
Hamiltonian with the Coriolis term in the off-diagonal block was
set up to analyze the spectra. The effect of the Fermi resonance
between ν₃ and 2ν₄ was very small. The ground-state spectrum
of ¹³CD₂F₂ was obsd. and the rotational consts. and the
centrifugal distortion consts. were detd. The data on ¹²CD₂F₂
and ¹²CDHF₂ were also improved very much in accuracy. The
Coriolis coupling consts. and the differences between 2 vibrational
levels in resonance, which were detd. by the anal. of the satellite
spectra, are in good agreement with those obtained from
vibrational spectra, except for the ν₂ band center, which is
revised to 1170.3 cm⁻¹. The force consts. were also checked using
the centrifugal distortion consts. of ¹²CD₂F₂, ¹³CD₂F₂, and
¹²CHDF₂.

N2

ХУ -9513

1975

CD_2F_2

v_2

v_3

v_4

v_5

v_6

v_7

v_8

v_9

v_{10}

v_{11}

v_{12}

(v_i)

(min)

23 Б340. Микроволновый спектр метиленфторида- d_2 (CD_2F_2) в возбужденных колебательных состояниях. Hirota Eizi, Sahara Miyoko. Microwave spectrum of methylene fluoride- d_2 CD_2F_2 in the excited vibrational states. «J. Mol. Spectrosc.», 1975, 56, № 1, 21—38 (англ.)

В диапазоне 8—70 ГГц измерен МВ-спектр молекулы CD_2F_2 . Методом МВ-двойного резонанса и по эффекту Штарка идентифицированы линии вращательных переходов $^{12}CD_2F_2$ и $^{13}CD_2F_2$ в основном колебательном состоянии и линии $^{12}CD_2F_2$ в первых возбужденных состояниях колебаний v_2 , v_3 , v_4 , v_5 , v_7 , v_8 , v_9 и во втором

X 1975 N 23

состояния колебания v_4 . Спектры проанализированы с учетом слабого кориолисова взаимодействия v_3-v_7 , v_3-v_9 , v_5-v_7 и кориолисова резонанса v_2-v_8 . Определены значения вращательных и квартичных центробежных постоянных основного и возбужденных состояний. Для основного состояния $^{12}\text{CD}_2\text{F}_2$ получено: $A=34745$, $B=10241,42$, $C=8831,81$, $\tau_{aaaa}=-0,85118$, $\tau_{vvvv}= -0,053706$, $\tau_{cccc}=-0,021841$, $\tau_1=0,04528$, $\tau_2= -0,032543$ (все в Мгц). Обнаружена сильная зависимость τ -постоянных, особенно τ_1 и τ_2 , от колебательного состояния. Для кориолисовых постоянных $^{12}\text{CD}_2\text{F}_2$ получены значения: $|\xi_{37}^a|=0,46$, $|\xi_{39}^c|=0,55$, $|\xi_{57}^c|=0,69$, $|\xi_{28}^c|=0,787$. Расхождение между измеренными и вычисленными (из известных силовых постоянных) значениями центробежных постоянных основного состояния достигает до 20%.

М. Р. Алиев

ХС-9513

1975

CD_2F_2

бз/о

(н,н)

бз/о

11 Д469. Микроволновый спектр метиленфторида, CD_2F_2 в возбужденных колебательных состояниях.
Нигота Еизи, Сахага Миуоко. Microwave spectrum of methylene fluoride- d_2 CD_2F_2 in the excited vibrational states. «J. Mol. Spectrosc.», 1975, 56, № 1, 21—38 (англ.)

Исследованы и отождествлены вращательные спектры молекулы $^{12}CD_2F_2$ в основном и возбужденных колебательных состояниях v_2 , v_3 , $2v_4$, v_5 , v_7 , v_8 и v_9 . С использованием приближенных выражений для вращательных уровней энергии были определены слабые корiolисовы силы между v_3 и v_7 , v_3 и v_9 , v_5 и v_7 . Установлено слабое ферми-взаимодействие между v_3 - и $2v_4$ -состояниями. Для норм. и d_2 -образцов определены вращательные постоянные и постоянные центробежного искажения.

Ф. 1975 № 11

60721.1819

TC, Ex-C, Ch, Ph

CH_2F_2

31603

1976

43-13587.

Mizuno M., Sacki S. Infrared absorption intensities of methylene fluoride.

"Spectrochim. acta", 1976, A 32, N 5,

1077-1082 (англ.)

(all CH_2F_2 , II)

0662 ник

636 639

654

1

ВИНИТИ

9978

XIV-9349

 CH_2F_2 , $\text{C}_6\text{D}_2\text{F}_2$ (cav.-rocm., ll-n.)

Hirota E.,

g. Mol. Spectrosc. 1978; 71: 145-59.

Anharmonic potential function
 and equilibrium structure of ...

C.A. 1978, 89, N14, 119845g

10



$CD_2 F_2$

1980

$CD_2 Cl_2$

Борисова С. А. и др.

$CD_2 Br_2$

"Ис. призн. экспериментальн."

$CD_2 I_2$

АН СССР. Москва 1980. 34с.

дл. II; I_i

(Приложение к патенту
22 авб. 1980 г., № 283-80 Дз.)

дл. $CH_2 F_2 - \text{II}$

CD_2F_2

1980

Kondo Shigeo et al.

reference.

note,
A. K. Chekip
 ν_i ~~73~~, N 11, 5409-5418.

(c.c.s. CH_2F_2 ; $\bar{\pi}$).

CH₂F₂
CD₂F₂

Lommeca 11001

1980

Sivakumar P., et al.

M.N.; Proc. Indian. Acad. Sci.,
1980, 80, (3), 231-34.

$C_2 D_2 F_2$

1984

Kagel R. O., Powell D. L.,
et al.

m. q.,

ν_i ;

J. Phys. Chem., 1984,
88, N 3, 521 - 526.

($C_2 H_2 F_2$; III)

CD_2F_2

1988

Gaw Jeffrey F.,
Hardy Nicholas C.,
et al.

et al.

J. Chem. Phys. 1988.

89, N2, C. 959 - 967

(eeu. CH_2F_2 ; III)

CD_2F_2

[OM. 40319]

2000

Foh K.-L., Tan T.-L. et al,

Mol. Phys., 2000, 98, N17,
1343 - 1346.

High-resolution FTIR spectra
of the Li^+ ions interacting
 D_3 and D_9 diend

methylene fluoride-d₂.

2000

F: CD2F2

P: 3

133:23840 The Coriolis Interaction between the
.nu.9 and .nu.7 Fundamental Bands of Methylene Fluoride.

Goh, K. L.; Tan, T. L.; Ong, P. P.; Teo, H. H.

Department of Physics, Faculty of Science,
National University of Singapore 119260, Singapore

J. Mol. Spectrosc., 201(2), 310-313 (English)

2000

C.A. 2000

The IR spectrum of the ν_7 and ν_9 bands of methylene fluoride-d₂ (CD₂F₂) was recorded with an unapodized resoln. of 0.0024 cm⁻¹ in the frequency range of 940-1030 cm⁻¹ using the Fourier transform technique. A weak b-type Coriolis interaction term was found to couple these two vibrational states with band centers ~42 cm⁻¹ apart. By fitting a total of 1031 IR transitions of both ν_7 and ν_9 with a std. deviation of 0.0011 cm⁻¹ using a Watson's A-reduced Hamiltonian in the Ir representation with the inclusion of a b-type Coriolis resonance term, two sets of rovibrational consts. for $\nu_7 = 1$ and $\nu_9 = 1$ states up to sextic order were derived. The ν_7 band is C type, while the ν_9 band is A type with band centers at 961.8958 \pm 0.0005 and 1003.7421 \pm 0.0001 cm⁻¹, resp.

$\text{C}_2\text{H}_2\text{F}_2$

2000

133: 23840c The Coriolis Interaction between the v_9 and v_7 Fundamental Bands of Methylene Fluoride. Goh, K. L.; Tan, T. L.; Ong, P. P.; Teo, H. H. (Department of Physics, Faculty of Science, National University of Singapore, Singapore 119260). *J. Mol. Spectrosc.* 2000, 201(2), 310–313 (Eng), Academic Press. The IR spectrum of the v_7 and v_9 bands of methylene fluoride-d₂ (CD_2F_2) was recorded with an unapodized resoln. of 0.0024 cm^{-1} in the frequency range of 940 – 1030 cm^{-1} using the Fourier transform technique. A weak b-type Coriolis interaction term was found to couple these two vibrational states with band centers $\sim 42 \text{ cm}^{-1}$ apart. By fitting a total of 1031 IR transitions of both v_7 and v_9 , with a std. deviation of 0.0011 cm^{-1} using a Watson's A-reduced Hamiltonian in the I^* representation with the inclusion of a b-type Coriolis resonance term, two sets of rovibrational consts. for $v_7 = 1$ and $v_9 = 1$ states up to sextic order were derived. The v_7 band is C type, while the v_9 band is A type with band centers at 961.8958 ± 0.0005 and $1003.7421 \pm 0.0001 \text{ cm}^{-1}$, resp. (c) 2000 Academic Press.

(v_7, v_9)

C. H. 2000, 133, 1/2

2000

F: CD2F2

P: 3

133:96178 High-resolution FTIR spectroscopy of the
.nu.6 fundamental of methylene fluoride-d2. Goh, K. L.;
Tan, T. L.; Ong, P. P.; Teo, H. H. Faculty of
Science, Department of Physics, National University of
Singapore Singapore 119260, Singapore Chem. Phys.
Lett., 323(3,4), 361-364 (English) 2000. The FTIR
spectrum of the .nu.6 band of methylene fluoride-d2
(CD2F2) was recorded with an unapodized resoln. of 0.006
cm-1 in the frequency range 2220-2340 cm-1. A total of
1111 IR transitions of .nu.6 were used with Watson's A-
and S-reduced Hamiltonians in the Ir representation to
derive rovibrational consts. for the upper state
(.nu.6=1) up to four quartic terms. This relatively
unperturbed band is of C-type with an unperturbed band
center at 2283.73996 .+- .0.00007 cm- 1.